

ФЛЕКСОЭЛЕКТРИЧЕСТВО КАПЕЛЬ НЕМАТИКА

О.Д. Лаврентович

Флексоэлектрический эффект в нематическом жидкокристалле (НЖК) заключается в возникновении макроскопической поляризации \vec{P} областей с неоднородным распределением директора \vec{n} [1]:

$$\vec{P} = e_1 \vec{n} \operatorname{div} \vec{n} + e_3 \operatorname{rot} \vec{n} \times \vec{n}, \quad (1)$$

где e_1 и e_3 – флексоэлектрические коэффициенты. Такие области в виде, например, отдельных капель НЖК, должны были бы проявлять кулоновское взаимодействие. Однако это предположение [1] подверглось критике [2], и исследований флексоэффекта в каплях не последовало. Изучению указанной задачи и посвящена настоящая работа.

Причиной поляризации капель НЖК является конечная кривизна их поверхности и неоднородное распределение \vec{n} [3]. Ниже рассмотрены три основные геометрии, которые приводят к поляризации соответственно монопольного, дипольного и квадрупольного типов.

1. Пусть в простейшей ситуации равновесному состоянию сферической капли НЖК радиуса R отвечает распределение директора в виде радиального ежа, записываемое в сферической системе координат (\vec{r}, θ, ϕ) как

$$n_r = 1, \quad n_\theta = n_\phi = 0. \quad (2)$$

Поляризация (1) такой капли, $\vec{P} = 2e_1 \vec{r}/r$ вызывает на ее поверхности заряд $q_s = 8\pi e_1 R$, который скомпенсирован зарядом $q_v = -8\pi e_1 R$, распределенным по объему капли с плотностью $\rho = -2e_1/r^2$. Для типичных значений $|e_{1,3}| = 10^{-11}$ Кл/м [4] и $R = 5 \cdot 10^{-6}$ м (которые будут использоваться и далее) получаем оценку $q_{s,v} = 1.3 \cdot 10^{-15}$ Кл. Прежде всего следует выяснить, не экранированы ли эти заряды зарядом примесей, всегда присутствующих в НЖК: $q_i = 4\pi R^3 \sigma / 3 \alpha$ где σ – удельная электропроводность НЖК, α – подвижность носителей заряда. Условие $q_{s,v}/q_i > 1$ будет выполняться для капель радиуса R , меньших некоторого критического $R_c = (\sigma \alpha / 6)^{1/2}$. При $\sigma = 6 \cdot 10^{-11}$ Ом⁻¹ м⁻¹ и $\alpha = 10^{-10}$ м²/В·с [5] находим $R_c = 10^{-5}$ м. Следовательно, даже не для рекордно чистых НЖК экспериментальное наблюдение следствий флексоэффекта вполне доступно. Одним из таких следствий может быть повышение стабильности коллоида капель НЖК по отношению к коагуляции, однако далее нас будут больше интересовать эффекты ориентационного упорядочения, связанные с дипольной и квадрупольной поляризациями.

2. Дипольную поляризацию проще всего реализовать в уплощенных каплях, расположенных на изотропной подложке. Пусть для опре-

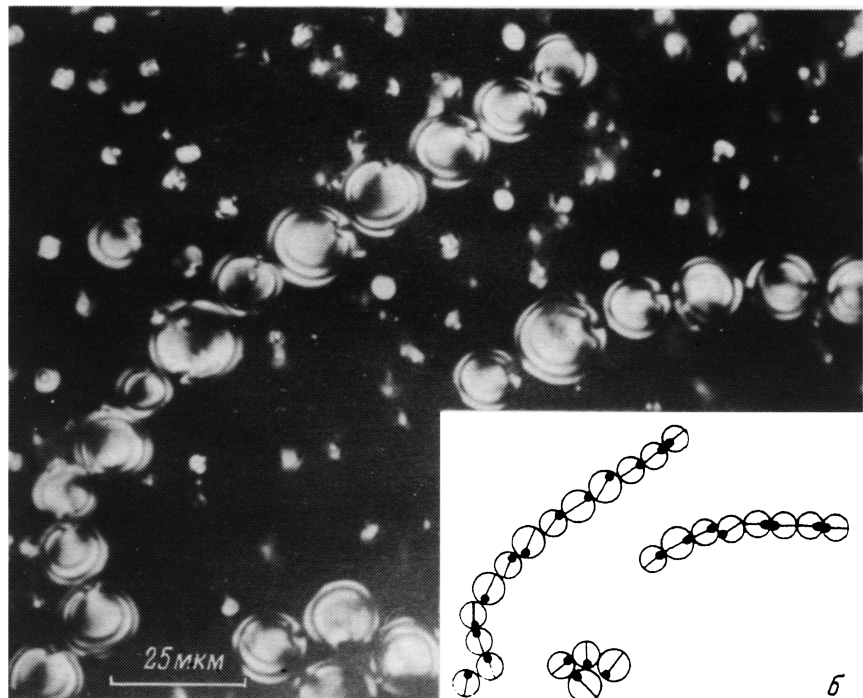
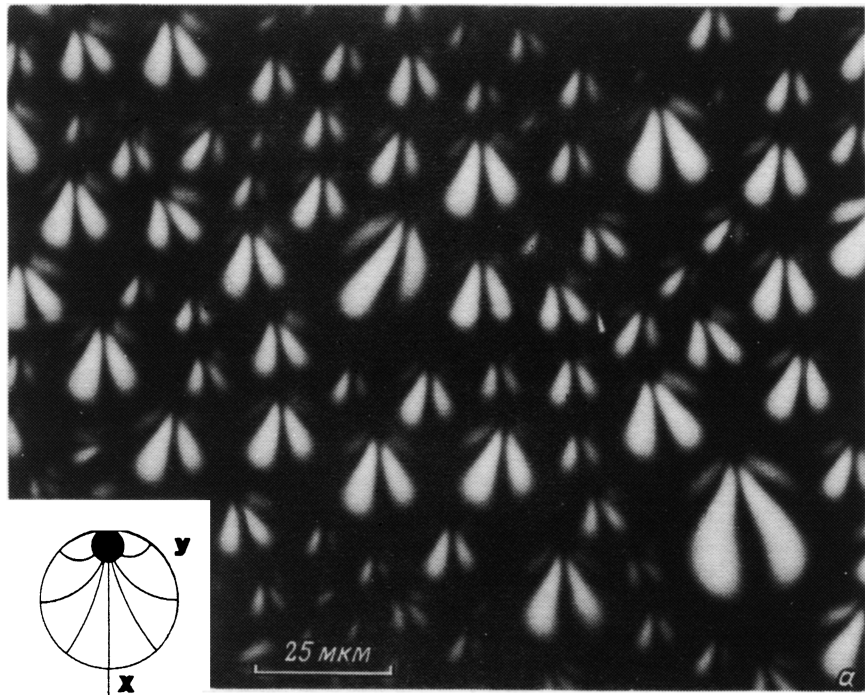


Рис. 1. Микрофотографии упорядоченных систем капель НЖК на жесткой (а) и жидкой (б) подложках. Поляризованный свет.

деленности капли имеют форму шайб радиусом R и высотой h , а распределение \vec{n} согласующееся с экспериментально наблюдаемыми структурами (рис. 1), удовлетворяет нормальным граничным условиям на боковой цилиндрической поверхности и тангенциальным – на верхней и нижней и в декартовых координатах ($\hat{x}, \hat{y}, \hat{z}$) имеет вид

$$n_x = \cos 2\varphi(x, y), \quad n_y = \sin 2\varphi(x, y), \quad n_z = 0, \quad (3)$$

где φ – угол между радиусом-вектором \vec{r} и осью x . Распределение директора обладает сингулярностью, расположенной в начале координат.

Используя выражения (1) и (3), находим полный дипольный момент капли $\vec{\mu} = \int \rho dV$, который направлен вдоль оси симметрии структуры (ось x):

$$\vec{\mu} = \pi(e_r - e_s)Rh\hat{x}. \quad (4)$$

Для оценки эффективности диполь–дипольного взаимодействия капель положим $e_r = -e_s$ и введем безразмерную константу $\lambda = \mu^3/4\pi\epsilon_0 a^3 k_B T$, где a – расстояние между каплями, T – абсолютная температура, k_B – постоянная Больцмана, ϵ_0 – электрическая постоянная. При комнатных температурах $k_B T = 4 \cdot 10^{-21}$ Дж и размерах $R = 5 \cdot 10^{-6}$ м, $h = 2 \cdot 10^{-6}$ м константа λ больше 1, начиная с расстояний $a = 10^{-4}$ м (и меньших). Как свидетельствуют численные расчеты для аналогичных систем [6], при $\lambda \geq 60$ возможно образование упорядоченной фазы диполей. В рассматриваемой ситуации точке фазового перехода соответствуют расстояния между каплями в $2.4 \cdot 10^{-5}$ м.

Примеры упорядоченных фаз капель НЖК (вещество ЖК-440), каждая из которых обладает структурой дипольной симметрии, представлены на рис. 1, а, б. Капли размещались на подложках, дающих вырожденные тангенциальные условия ориентации директора на границе. В первом случае – на жесткой полизобутиленовой пленке, во втором – на жидкой поверхности α, ω – акрил-биль-(пропиленгликоль)-2,4-толуилениоритана, по которой капли могли перемещаться, образуя в результате протяженные или замкнутые цепочки. Цепочки содержат домены с чередующимися направлениями дипольных моментов, которые всюду остаются коллинеарными оси цепочки. Домены возникают и в двумерных массивах; один из них изображен на рис. 1, а.

3. Сферические капли НЖК, взвешенные в матрице, которая вынуждает молекулы располагаться параллельно границе раздела, приобретают биполярную структуру (рис. 2, вставка) [3]. В биполярной системе координат ($\hat{\delta}, \hat{\tau}, \hat{\phi}$) [7]

$$n_\delta = n_\phi = 0, \quad n_\tau = 1 \quad (5)$$

и для поляризации находим из (1)

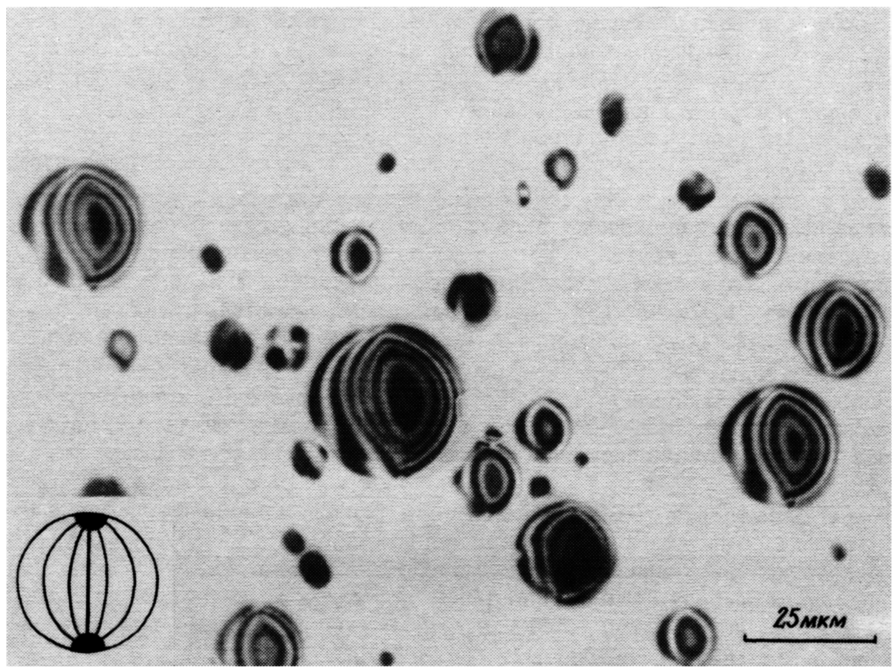


Рис. 2. Микрофотография сферических капель НЖК (бутоксифениловый эфир нонилоксибензойной кислоты), свободно взвешенные в глицерине. Поляризованный свет, негативное изображение.

$$\vec{\rho} = (e_3 \vec{\delta} \sin \sigma - 2e_1 \vec{t} \sinh \tau) / R, \quad (6)$$

а для плотности заряда

$$\rho = 2[e_1(1 - ch\tau \cos \sigma - sh^2 \tau) + e_3(1 - ch\tau \cos \sigma)] / R^2. \quad (7)$$

Выражения (6) и (7) описывают конфигурации квадрупольного типа ($\oint \vec{P}_d dV = 0$): максимальная плотность заряда сосредоточена на полюсах капли ($\tau = \pm \infty$) и в ее центре ($\tau = 0, \sigma = \pi$), причем заряды на полюсах одноименны. Последнее обстоятельство, не учтенное в [1], и послужило основанием критики [2] трактовки наблюдавшегося Мейером [1] притяжения полюсов близко расположенных капель как следствия флексоэлектрического эффекта.

Квадруполь-квадрупольное взаимодействие также способно приводить к образованию упорядоченной фазы капель (рис. 2): константа этого взаимодействия $\lambda_{QQ} = Q^2 / 4\pi \epsilon_0 a^5 k_B T > 1$, если $a < 6 \cdot 10^{-5}$ м (Q оценено как $4\pi e R$).

Отметим также возможность дипольной поляризации сферических капель, которая, вероятно, объясняет упомянутое выше взаимопри-

тяжение полюсов. Если ориентация молекул НЖК на поверхности не является строго тангенциальной или нормальной, то распределение \vec{n} приобретает симметрию C_∞ , полюса - неодинаковые заряды, а сама капля - дипольный момент

$$\mu = 2\pi e k R^2, \quad (8)$$

зависящий от конкретного вида поля \vec{n} , что учтено в (8) путем введения коэффициента k . В соответствии с теорией Борна [5], предложенной в свое время для описания самого НЖК, при условии $\mu > \mu_c = (9k_b T a^3 \epsilon_0)^{1/2}$ трехмерный ансамбль подобных капель должен быть ориентационно-упорядоченным. Указанное условие действительно реализуемо: при комнатных температурах и расстояниях между каплями в $2 \cdot 10^{-5}$ м находим борновский критический момент $\mu_c = 5 \cdot 10^{-23}$ Кл·м, в то время как достижимые значения μ из (8) значительно больше: $\mu = 1.5 \cdot 10^{-21}$ Кл·м при $k = 1$.

В заключение уместно сравнить энергию взаимодействия, вызванного флексоэффектом (например, диполь-дипольного, $U_{dd} = \mu^2 / 4\pi\epsilon_0 a^3$), с энергией дисперсионного взаимодействия капель [2, 8]. Оценкой последней выберем выражение [8] $U_{dd} = AR / 12a$, где $A = 10^{-19}$ Дж - постоянная Гамакера. Легко видеть, что при сделанных выше оценках параметров $U_{dd} / U_{dm} > 1$, если $a < 7 \cdot 10^{-4}$ м. Иными словами, на тех масштабах, на которых ожидается „когерентное“ поведение капель, превалирующим оказывается флексоэлектрическое взаимодействие.

Как следует из вышеизложенного, электрическая поляризация капель НЖК, вызванная флексоэффектом, способна играть важную роль в их коллективном поведении, что в дальнейшем было бы интересно изучить более детально экспериментально. Описанные эффекты могут проявляться и в других системах - коллоидных, лиотропных и биологического происхождения.

Искренне принателен Э.С. Гюльназарову за предоставление полимерного вещества для исследований.

Л и т е р а т у р а

- [1] M e u e r R.B. - Phys. Rev. Lett., 1969, v. 22, No 18, p. 918-921.
- [2] D e G e n n e s P.G. - C.R. Acad. Sc. Paris, 1970, v. 271, Sér. B, No 9, p. 469-471.
- [3] Воловик Г.Е., Лаврентович О.Д. - ЖЭТФ, 1983, т. 85, в. 6(12), с. 1997-2010.
- [4] D o z o v I, M a r t i n o t - L a g a r - d e Ph., D u r a n d G. - J. Phys. Lett., 1983, v. 44, No 19, p. L-817-L-822.
- [5] Блинов Л.И. Электро- и магнитооптика жидкких кристаллов. М.: Наука, 1978. 384 с.

- [6] Веданов V.M., Гадиуак G.V.,
Лозовик Yu.E. - Phys. Lett., 1982, v. 92A,
No 8, p. 400-402.
- [7] Корн Г., Корн Т. Справочник по математике. М.:
Наука, 1978, с. 195.
- [8] Дерягин Б.В. Теория устойчивости коллоидов и тонких
пленок. М.: Наука, 1986. 208 с.

Институт физики
АН УССР, Киев

Поступило в Редакцию
18 октября 1987 г.

Письма в ЖТФ, том 14, вып. 2

26 января 1988 г.

**ЖИДКОФАЗНЫЕ *AlGaAs* - СТРУКТУРЫ
С КВАНТОВО-РАЗМЕРНЫМИ СЛОЯМИ ТОЛЩИНОЙ ДО $\sim 20\text{ \AA}$**

Ж.И. Алферов, В.М. Андреев,
С.Г. Конников, В.Р. Ларионов,
К.Ю. Погребицкий, Н.Н. Фалеев,
В.П. Хвостиков

В работах [1-4] нами было показано, что при снижении температуры кристаллизации из раствора-расплава возможно получение *AlGaAs* - структур с толщинами слоев менее 100 Å. Из исследований фотолюминесценции *AlGaAs* -структур со слоями толщиной 50-100 Å было найдено [3, 4], что флуктуация толщины квантово-размерных слоев, получаемых методом низкотемпературной ЖФЭ, не превышает ± 1 монослой, а внутренний квантовый выход излучательной рекомбинации в этих слоях близок 100% при 300 K.

В лазерах на основе таких структур с узкозонными слоями толщиной 100-150 Å и расширенной волноводной полостью были достигнуты пороговые плотности тока $j_n = 200 \text{ A/cm}^2$ (300 K) при длине резонатора 500 мкм, сравнимые с минимальными j_n в *AlGaAs-GaAs* лазерах, изготовленных методами молекулярной и МОС-гидридной эпитаксии и в *GaAs-GaInPAs* лазерах, полученных модифицированным методом ЖФЭ при минимальном времени контакта расплава с подложкой [5, 6].

В данной работе приводятся результаты исследования концентрационных профилей *AlGaAs* -структур, полученных методом низкотемпературной ЖФЭ, толщина узкозонных слоев в которых составляет от $\sim 100 \text{ \AA}$ до 15-20 Å.

Послойный анализ состава проводился методом, основанным на определении разностей фотоэмиссии электронов на скачках рентгеновского поглощения (методом ОРФЭС) [3, 7]. Метод обладает разрешением 10-20 Å. При этом максимальное разрешение реализуется при анализе участков структур, расположенных на расстоянии 200-1000 Å от поверхности.